

dodataknim snimkama i na kraju je utvrđeno da je cunamijem poplavljeno područje od 561 km².

Sve informacije vezane uz potres GSI je dostavljao zainteresiranim preko četiri kanala. Prvi kanal je bio humanitarni transportni sustav kojim upravlja japanska samogaštita. Pružanje informacija preko lokalnih sjedišta za upravljanje u katastrofama bio je drugi kanal, a treći preko tima za podršku geoprostornih informacija. Četvrti kanal bili su vlastite mrežne stranice. Od ukupno 1491 zatražene informacije 90% ih je došlo od centralnih i lokalnih vladinih organizacija. Preko drugog i trećeg kanala isporučeno je, među ostalim, 276 ortofotografija, 220 ortofotokarata, 342 karte poplavljenih područja, 156 topografskih karata različitih mjerila i 169 tematskih i drugih karata. Mnogo veći broj informacija preuzet je s mrežnih stranica GSI-a.

Ovdje se navode samo neke od primjena dostavljenih geoprostornih informacija:

- identifikacija štete i izdavanje potvrda građanima o oštećenim zgradama (lokalna vlast)
- operacije u potrazi za poginulima (policija, samogaštita)
- identifikacija oštećenih postrojenja (Ministarstvo zemljišta, infrastrukture, prometa i turizma)
- razmatranje oslobođanja od poreza na imovinu u oštećenim područjima (Ministarstvo unutarnjih poslova i komunikacija).

Osim navedenog od siječnja 2012. dostupan je, kao prilog planiranju obnove, niz aerosnimki i karata u mjerilu 1:2500 za 5320 km² potresom oštećenog područja. Radi izrade DMR-a razlučivosti 5 m, a na nekim područjima i 2 m izvršeno je lasersko skeniranje 10 876 km² obalnog područja pogodenog cunamijem i planinskih područja podložnih klizanju.

Tako brz odaziv nakon potresa i veliki posao obavljen u kratkom roku bio je moguć zbog vježbi koje se održavaju svake godine na svim razinama. I GSI organizira nekoliko vježbi svake godine, a mnogo iskustva stekli su nakon potresa 1995. i 2004. te vulkanske erupcije 2000.

Izvor:

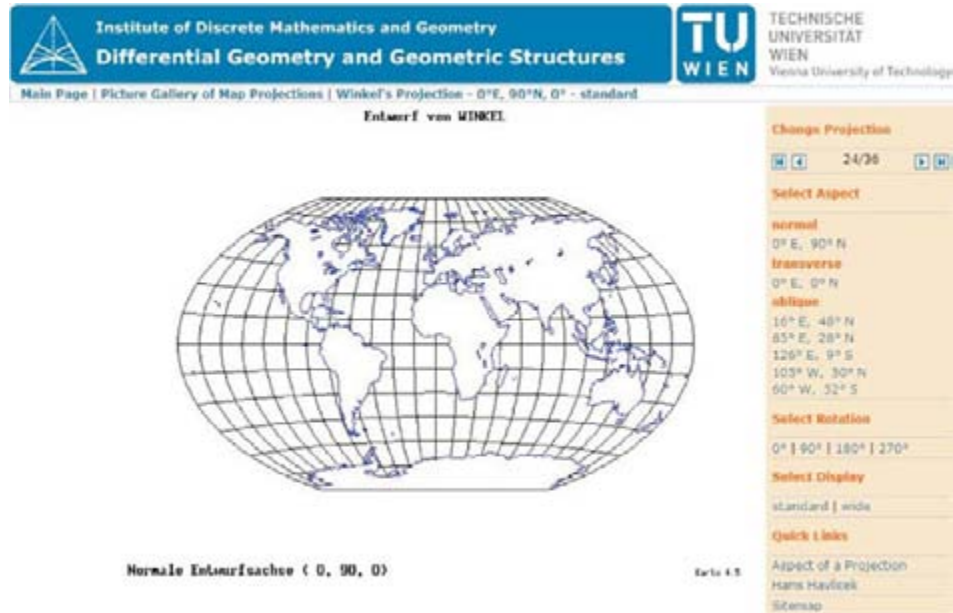
T. Nagayama, K. Inaba, T. Hayashi, H. Nakai: Responding to the great east Japan earthquake, Coordinates, 2012, 12,
<http://mycoordinates.org/responding-to-the-great-east-japan-earthquake/>.

Nedjeljko Frančula

GALERIJA SLIKA KARTOGRAFSKIH PROJEKCIJA

Galerija slika kartografskih projekcija (Picture Gallery of Map Projections) nalazi se na mrežnim stranicama posvećenim Diferencijalnoj geometriji i geometrijskim strukturama Instituta za diskretnu matematiku i geometriju Tehničkog sveučilišta u Beču (<http://www.geometrie.tuwien.ac.at/karto/>).

Galerija uključuje 36 projekcija. Klikne li se na bilo koju od tih projekcija na ekranu se pojavljuje slika mreže meridijana i paralela i konture kontinenata u uspravnoj varijanti te projekcije. Na priloženoj slici izabrana je Winkelova projekcija. S desne strane ekrana nalazi se traka s parametrima koji omogućuju mijenjanje slike na ekranu. Najvažnija promjena odnosi se na aspekt projekcije. Pri dnu trake je poveznica koja otvara tekst s definicijom i objašnjenjima vezanim uz aspekt. Aspekt projekcije opisuje odnos osi Zemlje u odnosu na os projekcije, koja spaja bilo koju točku na sferi i njezinu nasuprotnu točku, a o kojoj bitno ovise oblik mreže meridijana i paralela u projekciji. U normalnom aspektu os projekcije podudara se s osi Zemlje, u poprečnom aspektu leži u ravnini ekvatora, a u kosom aspektu prolazi bilo kojom točkom između pola i ekvatora. Klikom na odgovarajuće ponuđene koordinate



dobiva se izgled mreže meridijana i paralela osim u normalnom i u poprečnom (transverzalnom) i u pet slučajeva kosog (oblique) aspekta. Osim toga omogućena je i rotacija slike oko osi projekcije za 90° , 180° i 270° .

Pri dnu trake je i poveznica na osobne stranice prof. Hansa Havliceka koji studentima matematike predaje i matematičku kartografiju. Galerija slika kartografskih projekcija uklopljena je u ta njegova predavanja.

Nedjeljko Frančula

IZ STRANIH ČASOPISA

Acta Geodaetica et Geophysica Hungarica, Vol.48, No.2., 2013.

- Tectonic activity inferred from velocity field of GNSS measurements in Southwest of Turkey. E. Güllal, İ. Tiryakioğlu, S. Erdoğan, N. O. Aykut. 109.-121.
- Detecting, delineating and modeling the connected solution cavities in a dam site via microgravity data. Vahid E. Ardestani. 123.-138.
- Geoid modelling in the area of Fagnano Lake, Tierra del Fuego (Argentina): insights from mean lake-level observations and reduced gravity data. M. E. Gomez, D. Del Cogliano, R. Perdomo. 139.-147.
- Performance assessment of GPS/GLONASS single point positioning in an urban environment. A. Angrisano, S. Gaglione, C. Gioia. 149.-161.
- Three-dimensional adjustment of integrated geodetic observables in Earth-centred and Earth-fixed coordinate system. L. Bányai. 163.-177.
- Estimation of the normal Eötvös matrix for low geometric heights. Gerassimos Manousakis. 179.-189.